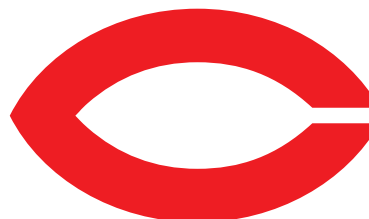


ベリー曲率と異常輸送現象

早田 智也

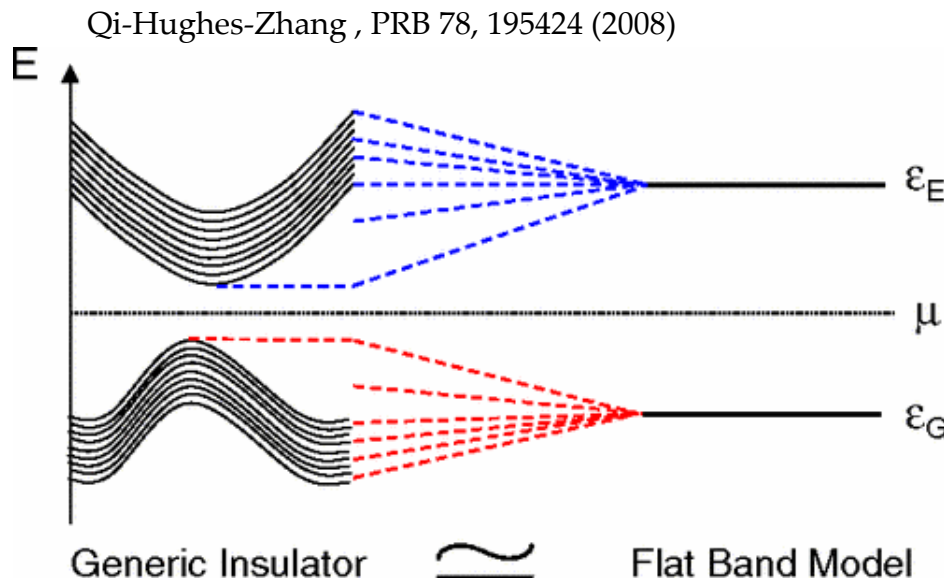


中央大学
CHUO UNIVERSITY

References: TH-Hidaka, PRB 95 125137 (2017); PTEP 073I01 (2017),
Ishizuka-TH-Ueda-Nagaosa, PRL 117 216601 (2016); PRB 95, 245211 (2017),
TH-Kikuchi-Tanizaki, PRB 96, 085112 (2017)

トポロジーと輸送現象

○ 絶縁体の低エネルギー有効理論



- フェルミ準位近傍に自由度無し

○ 生成汎関数は位相的場の理論を用いて現せる

量子ホール効果

$$J_x = \frac{e^2}{2\pi\hbar} C_1 \epsilon_{xy} E_y$$

$$C_1 = -\frac{1}{2\pi} \int dp_x dp_y f_{p_x p_y} \in \mathbf{Z}$$

Thouless-Kohmoto-Nightingale-Nijs, PRL 49, 405 (1982)

○ ベリー曲率

$$a_p = u^\dagger i \nabla_p u$$

$$f_{p_x p_y} = \partial_{p_x} a_{p_y} - \partial_{p_y} a_{p_x}$$

- (磁気的) ブリュアンゾーンのトポロジー

量子ホール効果

$$J_x = \frac{e^2}{2\pi\hbar} C_1 \epsilon_{xy} E_y$$

$$C_1 = -\frac{1}{2\pi} \int dp_x dp_y f_{p_x p_y} \in \mathbf{Z}$$

Thouless-Kohmoto-Nightingale-Nijs, PRL 49, 405 (1982)

○ チャーン-サイモンズ理論

$$S_{\text{CS}} = \frac{e^2}{2\pi\hbar} \frac{C_1}{2} \int dt dx dy A_\mu \epsilon^{\mu\nu\tau} \partial_\nu A_\tau$$

$$J^\mu = \frac{\partial S_{\text{CS}}}{\partial A_\mu} = \frac{e^2}{2\pi\hbar} C_1 \epsilon^{\mu\nu\tau} \partial_\nu A_\tau$$

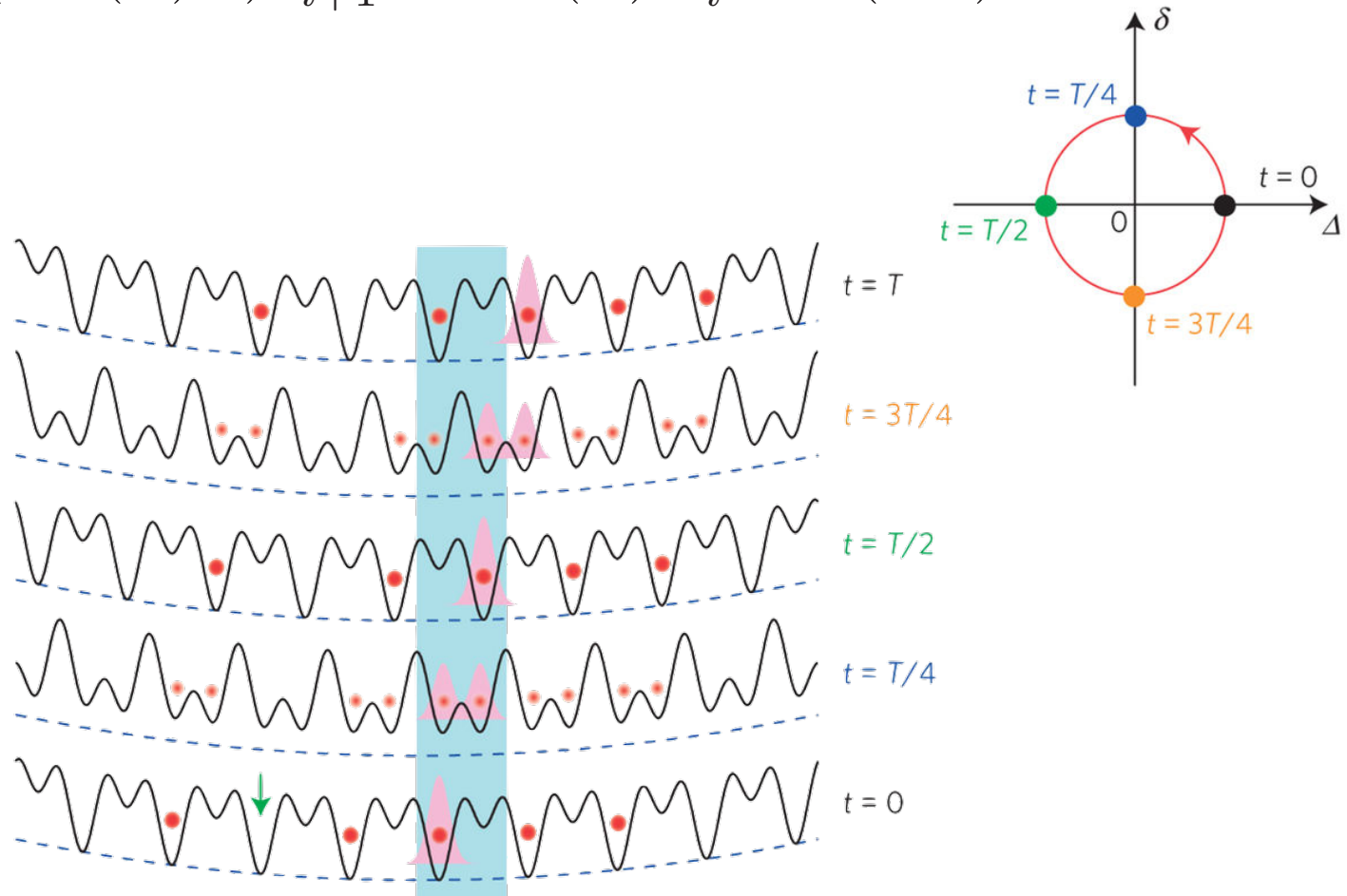
Zhang-Hansson-Kivelson, PRL 62, 82 (1989)
Lopez-Fradkin, PRB 44, 5246 (1991)

サウレス (断熱) ポンピング

Thouless, PRB 27, 6083 (1983)

○ 周期駆動されたハミルトニアン

$$\mathcal{H} = \sum_i - (t + (-)^i \delta) a_{i+1}^\dagger a_i + \Delta (-)^i a_i^\dagger a_i + (\text{h.c.})$$



Nakajima et.al., Nat. Phys. 12, 296 (2016)

サウレス (断熱) ポンピング

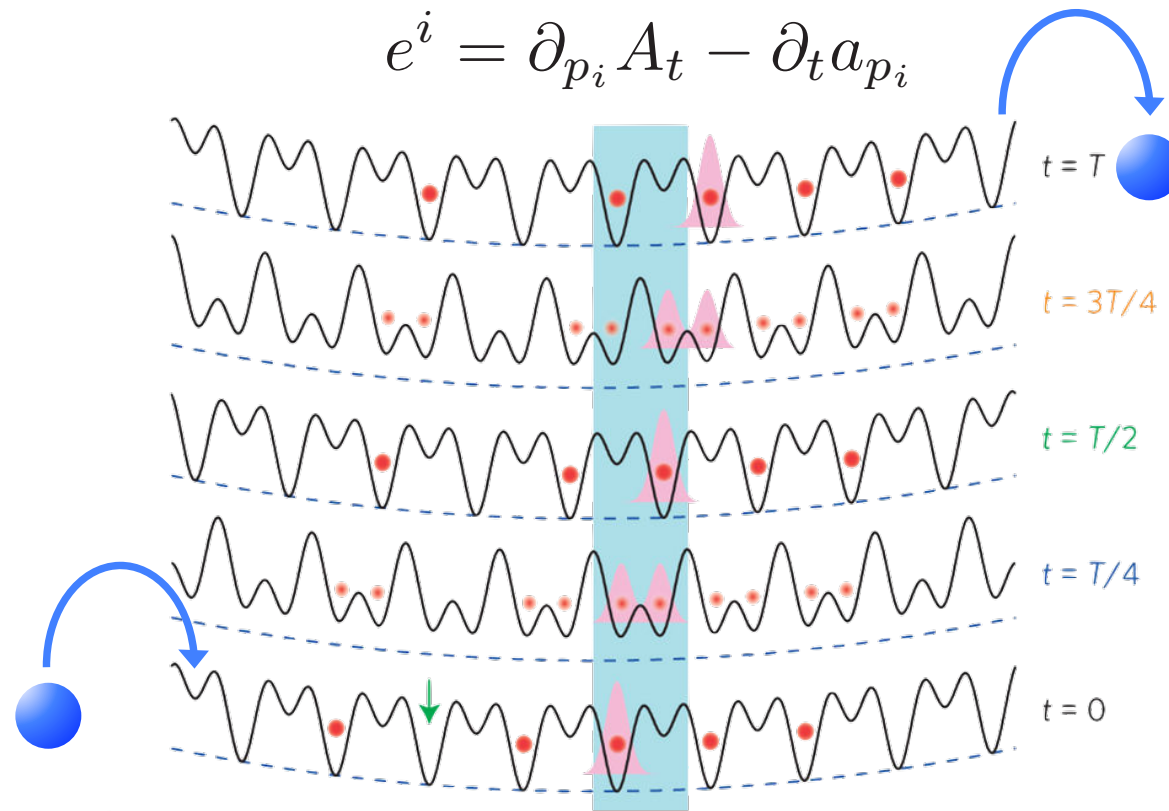
Thouless, PRB 27, 6083 (1983)

$$\bar{e} = \frac{1}{(2\pi)} \int_{T \times \text{BZ}} dp_x dt e^x \in \mathbb{Z}$$

○ベリー曲率

$$A_t = u^\dagger i \partial_t u$$

$$e^i = \partial_{p_i} A_t - \partial_t a_{p_i}$$



Nakajima et.al., Nat. Phys. 12, 296 (2016)

サウレス (断熱) ポンピング

Thouless, PRB 27, 6083 (1983)

$$\bar{e} = \frac{1}{(2\pi)} \int_{T \times \text{BZ}} dp_x dt e^x \in \mathbb{Z}$$

○ ベリー曲率

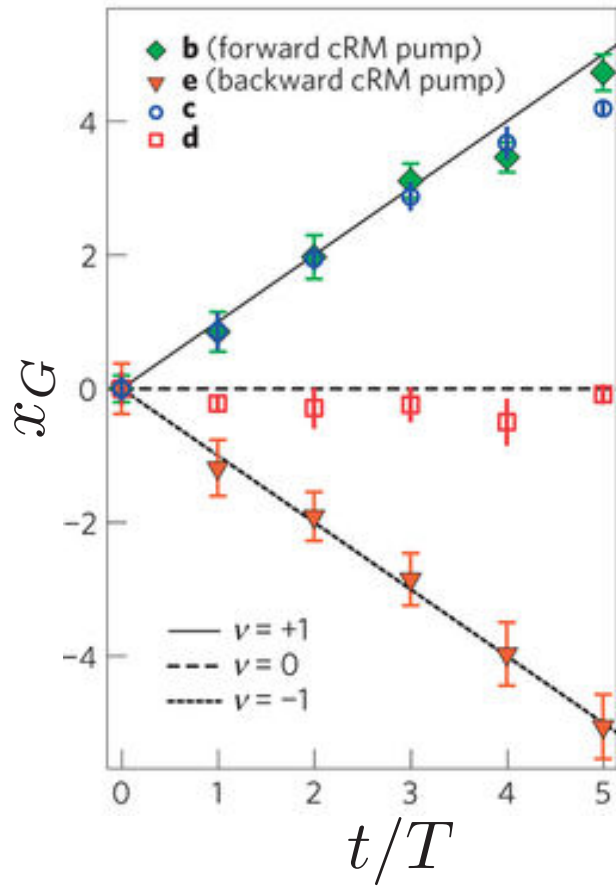
$$A_t = u^\dagger i \partial_t u$$

$$e^i = \partial_{p_i} A_t - \partial_t a_{p_i}$$

○ 冷却原子系を用いた実験的観測

Nakajima et.al., Nat. Phys. 12, 296 (2016)

Lohse et.al., Nat. Phys. 12, 350 (2016)



サウレス (断熱) ポンピング

Thouless, PRB 27, 6083 (1983)

$$\bar{e} = \frac{1}{(2\pi)} \int_{T \times \text{BZ}} dp_x dt e^x \in \mathbb{Z}$$

○ベリー曲率

$$A_t = u^\dagger i\partial_t u$$

$$e^i = \partial_{p_i} A_t - \partial_t a_{p_i}$$

○チャーン-サイモンズ理論

$$A_\mu = (A_t, A_x, a_{p_x})$$

$$S_{\text{CS}} = \frac{1}{4\pi} \int dt dx dp_x A_\mu \epsilon^{\mu\nu\tau} \partial_\nu A_\tau$$

$$J^x = \frac{\partial S_{\text{CS}}}{\partial A_x} = \frac{1}{2\pi} e^x$$

Qi-Hughes-Zhang, PRB 78, 195424 (2008)

TH-Hidaka, PRB 95 125137 (2017)

絶縁体 → 金属

ワイルハミルトニアン

$$\mathcal{H} = \psi_{\mathbf{p}}^\dagger \mathbf{p} \cdot \boldsymbol{\sigma} \psi_{\mathbf{p}}$$

○ エネルギー固有値

$$\mathbf{p} \cdot \boldsymbol{\sigma} u_{\mathbf{p}}^\pm = \pm |\mathbf{p}| u_{\mathbf{p}}^\pm$$

○ ベリー曲率

$$\mathbf{a}_{\mathbf{p}}^\pm = u^\pm(\mathbf{p})^\dagger i \nabla_{\mathbf{p}} u^\pm(\mathbf{p})$$

$$\mathbf{b}^\pm(\mathbf{p}) \equiv \nabla_{\mathbf{p}} \times \mathbf{a}^\pm(\mathbf{p}) = \mp \mathbf{p} / 2p^3$$

運動量空間上の“磁気”モノポール

異常ホール効果

○ 磁場に依存しないホール効果

Sundaram- Niu, PRB 59, 14915 (1999)

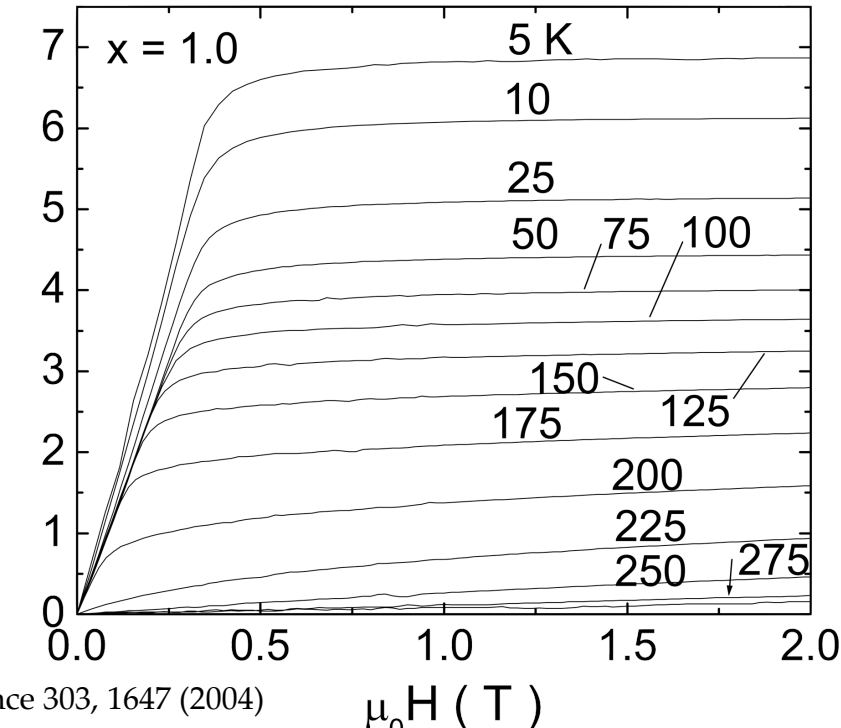
Jungwirth-Niu-MacDonald, PRL 88, 207208 (2002)

$$J_x = \frac{e^2}{2\pi\hbar} \tilde{C}_1 \epsilon_{xy} E_y$$

$$\tilde{C}_1 = -\frac{1}{2\pi} \int dp_x dp_y f_{p_x p_y} n_{\text{F.D.}} \notin \mathbb{Z}$$

- 時間反転対称性の破れた物質
強磁性金属、強磁性半導体、
トポロジカル絶縁体の薄膜...

$$\rho_{xy} = R_0 H + \underline{\rho_{xy}^s}$$



Lee et.al., Science 303, 1647 (2004)

$\mu_0 H$ (T)

熱場の量子論とその応用@ YITP, 28 Aug, 2017

カイラル磁気効果

- 磁場に比例する電流

Nielsen-Ninomiya, PLB130, 389 (1983)

Fukushima-Kharzeev-Warringa, PRD 78, 074033 (2008)

$$j = \kappa e^2 \mu_5 B / 2\pi^2 c$$

$$\boxed{\text{カイラル化学ポテンシャル } 2\mu_5 = \mu_R - \mu_L}$$

- モノポール電荷

$$\kappa = \frac{1}{2\pi} \int_{\text{F.S.}} d^2 S \cdot b \in \mathbb{Z}$$

$$j = -\frac{e^2}{c} B \int \frac{d^3 p}{(2\pi)^3} \varepsilon b \cdot \nabla_p n_{\text{F.D.}}$$

$$= \kappa \frac{e^2}{4\pi^2 c} \mu_{R,L} B$$

Stephanov- Yin, PRL 109, 162001 (2012)

Son- Yamamoto, PRL 109, 181602 (2012)

Chen-Pu-Wang-Wang, PRL 110, 262301 (2013)

TH-Kikuchi-Tanizaki, PRB 96, 085112 (2017)

カイラル磁気効果

- 磁場に比例する電流

Nielsen-Ninomiya, PLB130, 389 (1983)

Fukushima-Kharzeev-Warringa, PRD 78, 074033 (2008)

$$j = \kappa e^2 \mu_5 B / 2\pi^2 c$$

カイラル化学ポテンシャル $2\mu_5 = \mu_R - \mu_L$

- 負性磁気抵抗効果

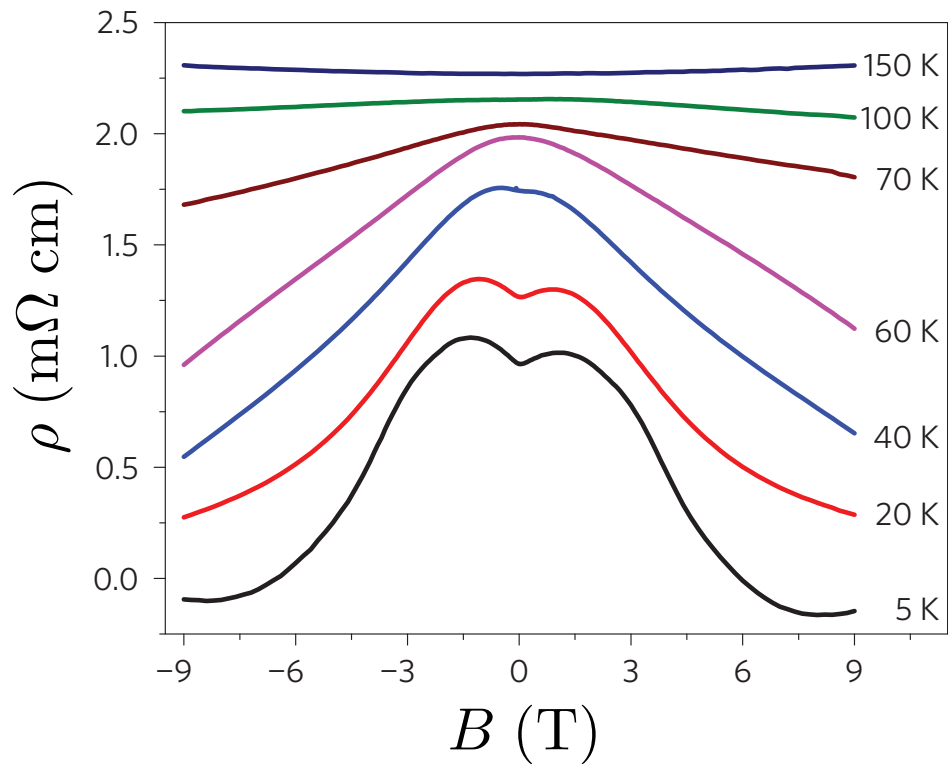
$$\mu_5 \sim E \cdot B$$

- ディラック半金属

Li, et.al., Nat. Phys. 12, 550 (2016)

- ワイル半金属

Huang, et. al., PRX 5, 031023 (2015)



カイラル磁気効果

○荷電粒子の方位角相関

PRL 118, 122301 (2017)

PHYSICAL REVIEW LETTERS

week ending
24 MARCH 2017



Observation of Charge-Dependent Azimuthal Correlations in p -Pb Collisions and Its Implication for the Search for the Chiral Magnetic Effect

V. Khachatryan *et al.*^{*}
(CMS Collaboration)

(Received 1 October 2016; revised manuscript received 3 December 2016; published 24 March 2017)

Charge-dependent azimuthal particle correlations with respect to the second-order event plane in p -Pb and PbPb collisions at a nucleon-nucleon center-of-mass energy of 5.02 TeV have been studied with the CMS experiment at the LHC. The measurement is performed with a three-particle correlation technique, using two particles with the same or opposite charge within the pseudorapidity range $|\eta| < 2.4$, and a third particle measured in the hadron forward calorimeters ($4.4 < |\eta| < 5$). The observed differences between the same and opposite sign correlations, as functions of multiplicity and η gap between the two charged particles, are of similar magnitude in p -Pb and PbPb collisions at the same multiplicities. These results pose a challenge for the interpretation of charge-dependent azimuthal correlations in heavy ion collisions in terms of the chiral magnetic effect.

“Constraints on the chiral magnetic effect using charge-dependent azimuthal correlations in p-Pb and Pb-Pb collisions at the LHC,” CMS Collaboration, arXiv:1708.01602v1 [nucl-ex]

サウレス (断熱) ポンピング

Ishizuka-TH-Ueda-Nagaosa, PRL 117 216601 (2016);
PRB 95, 245211 (2017)

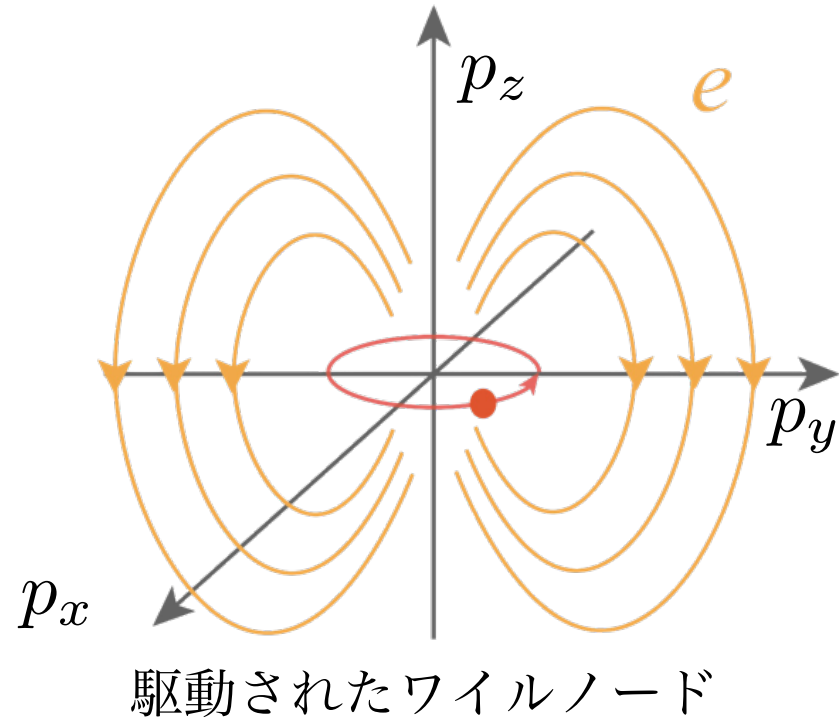
$$\bar{e} = \int_0^T dt \int \frac{d^3 p}{(2\pi)^3} e n_{\text{F.D.}}$$

- 運動量空間における電磁誘導

$$\nabla_p \times \mathbf{e} = -\partial_t \mathbf{b} - 4\pi \mathbf{j}_m$$

- 光電流

$$\bar{e}_{zR,L} = \pm \pi \frac{4v_0^2}{15v^2 v_z^2} (gD)^2 \omega \cos(\chi)$$



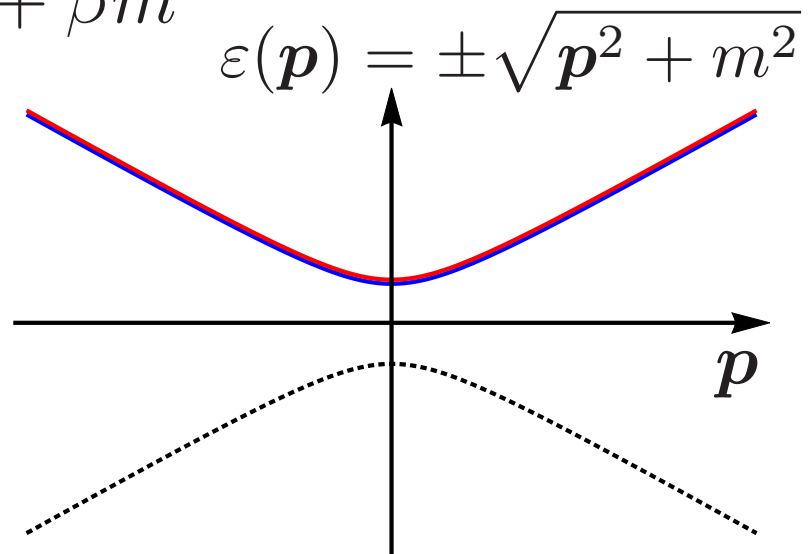
駆動されたワイルノード

可換 → 非可換

ディラックハミルトニアン

$$\mathcal{H} = \boldsymbol{\alpha} \cdot \boldsymbol{p} + \beta m$$

$$\boldsymbol{\alpha} = \begin{pmatrix} 0 & \boldsymbol{\sigma} \\ \boldsymbol{\sigma} & 0 \end{pmatrix} \quad \beta = \begin{pmatrix} 1 & 0 \\ 0 & -1 \end{pmatrix}$$



- 二重縮退
- SU(2) ベリーー曲率

$$a_{mn} = u_m^\dagger i \nabla_p u_n$$

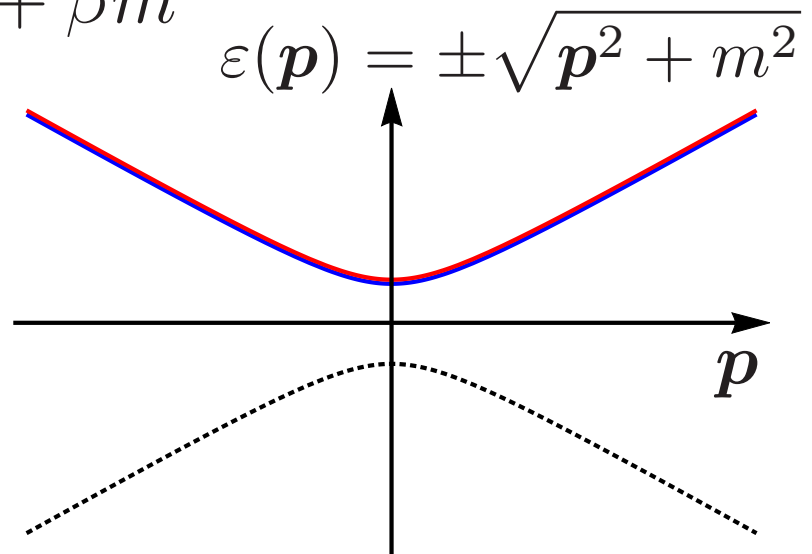
$$f = \nabla_p \times \mathbf{a} - i \mathbf{a} \times \mathbf{a}$$

$$f = -\frac{m}{2\varepsilon(\mathbf{p})^3} \left(\boldsymbol{\sigma} + \frac{\mathbf{p} \cdot \boldsymbol{\sigma}}{m^2 + m\varepsilon(\mathbf{p})} \mathbf{p} \right)$$

ディラックハミルトニアン

$$\mathcal{H} = \boldsymbol{\alpha} \cdot \boldsymbol{p} + \beta m$$

$$\boldsymbol{\alpha} = \begin{pmatrix} 0 & \boldsymbol{\sigma} \\ \boldsymbol{\sigma} & 0 \end{pmatrix} \quad \beta = \begin{pmatrix} 1 & 0 \\ 0 & -1 \end{pmatrix}$$



- 二重縮退
- SU(2) ベリー曲率

$$\boldsymbol{p} \rightarrow \boldsymbol{R}(\boldsymbol{p}, \boldsymbol{x}, t) \quad m \rightarrow m(\boldsymbol{p}, \boldsymbol{x}, t)$$

$$\boldsymbol{f} \rightarrow f_{pt}, \ f_{px}, \ f_{xy}$$



スピン電磁場

異常ホール効果

$$\mathbf{J} = \frac{e}{2} \int \frac{d^3 p}{(2\pi)^3} \left[\mathbf{E}^{\hat{a}} \times \mathbf{b}^{\hat{a}} \right] n(\mathbf{p})$$

- スピン電場によるホール効果

異常ホール効果

$$\mathbf{J} = \frac{e}{2} \int \frac{d^3 p}{(2\pi)^3} \left[\mathbf{E}^{\hat{a}} \times \mathbf{b}^{\hat{a}} \right] n(\mathbf{p})$$

カイラル磁気効果

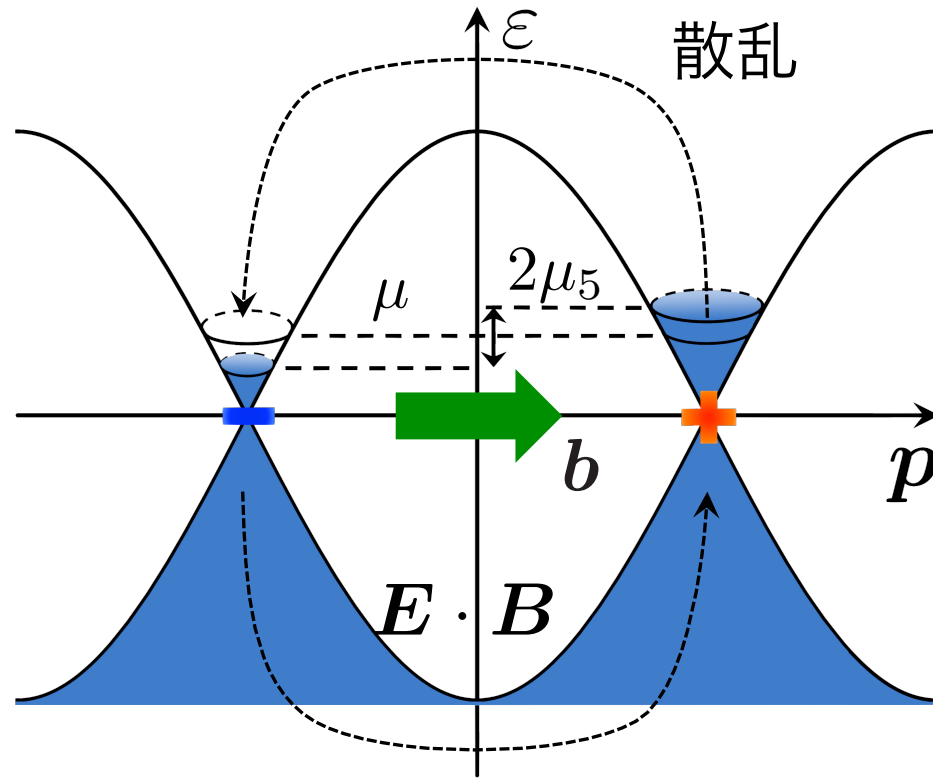
$$\mathbf{J} = \frac{e}{2} \int \frac{dt d^3 p}{(2\pi)^3} \left[\mathbf{B}^{\hat{a}} (\mathbf{b}^{\hat{a}} \cdot \nabla_p \varepsilon) + e \mathbf{B} (\mathbf{e}^{\hat{a}} \cdot \mathbf{b}^{\hat{a}}) \right] n(\mathbf{p})$$

- スピン磁場によるカイラル磁気効果
- 磁場で向き制御された断熱ポンピング

スペクトラルフロー

Son-Spivak, PRB 88, 104412 (2013)

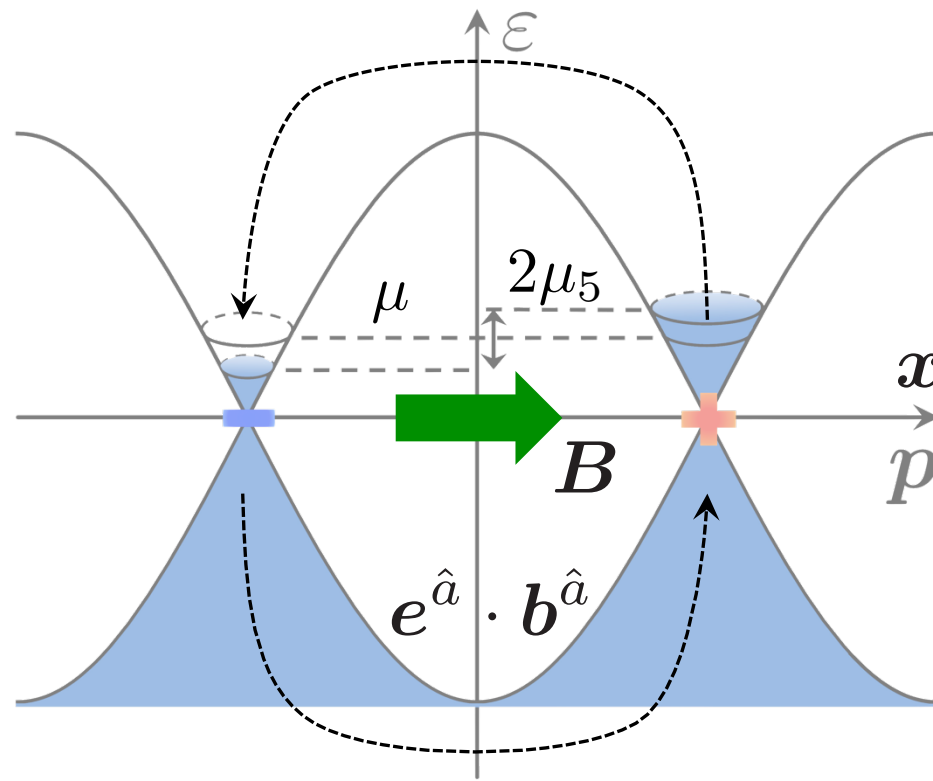
○カイラル化学ポテンシャルのダイナミクス



$$\partial_t \delta n + \nabla_x \cdot j = \frac{\chi e^2}{4\pi^2 c} E \cdot B - \frac{\delta n}{\tau}$$

実空間上のスペクトラルフロー

- 磁場で向き制御された断熱ポンピング



スピンドルホール効果

$$\mathbf{J}_s^{\hat{a}} = \lambda \int \frac{d^3 p}{(2\pi)^3} \left[e\mathbf{E} \times \mathbf{b}^{\hat{a}} \right] n(\mathbf{p})$$

○ ラッティンジャー模型

$$\{\Gamma_a, \Gamma_b\} = 2\delta_{ab}$$

$$\mathcal{H} = \varepsilon(\mathbf{p}) + \sum_{i=1}^5 d_a(\mathbf{p}) \Gamma_a$$

→ 非散逸的なスピンドル輸送

Murakami-Nagaosa-Zhang, Science 301 1348 (2003)

Murakami-Nagaosa-Zhang, PRL 93 156804 (2004)

スピノンホール効果

$$\mathbf{J}_s^{\hat{a}} = \lambda \int \frac{d^3 p}{(2\pi)^3} \left[e \mathbf{E} \times \mathbf{b}^{\hat{a}} \right] n(\mathbf{p})$$

スピノンカイラル磁気効果

$$\begin{aligned} \mathbf{J}_s^{\hat{a}} = \lambda \int \frac{dt d^3 p}{(2\pi)^3} & \left[e \mathbf{B} (\mathbf{b}^{\hat{a}} \cdot \nabla_p \varepsilon) \right. \\ & \left. + \frac{3}{10} \left(\mathbf{B}^{\hat{a}} (\mathbf{e}^{\hat{b}} \cdot \mathbf{b}^{\hat{b}}) + (bab) + (bba) \right) \right] n(\mathbf{p}) \end{aligned}$$

- 磁場によるスピノンカレントのカイラル磁気効果
- スピノン磁場で向き制御された断熱スピノンポンピング

スピノンホール効果

$$\mathbf{J}_s^{\hat{a}} = \lambda \int \frac{d^3 p}{(2\pi)^3} \left[e \mathbf{E} \times \mathbf{b}^{\hat{a}} \right] n(\mathbf{p})$$

スピノンカイラル磁気効果

$$\begin{aligned} \mathbf{J}_s^{\hat{a}} = \lambda \int \frac{dtd^3 p}{(2\pi)^3} & \left[e \mathbf{B} (\mathbf{b}^{\hat{a}} \cdot \nabla_p \varepsilon) \right. \\ & \left. + \frac{3}{10} \left(\mathbf{B}^{\hat{a}} (\mathbf{e}^{\hat{b}} \cdot \mathbf{b}^{\hat{b}}) + (bab) + (bba) \right) \right] n(\mathbf{p}) \end{aligned}$$

断熱スピノンポンピング

$$\mathbf{J}_s^{\hat{a}} = \lambda \int \frac{dtd^3 p}{(2\pi)^3} \left[-\mathbf{e}^{\hat{a}} \right] n(\mathbf{p})$$

まとめ

異常ホール効果

Sundaram- Niu, PRB 59, 14915 (1999)
Jungwirth-Niu-MacDonald, PRL 88, 207208 (2002)

$$\mathbf{j} = e^2 \int \frac{d^3 p}{(2\pi)^3} (\mathbf{b} \times \mathbf{E}) n$$

カイラル磁気効果

Nielsen-Ninomiya, PLB130, 389 (1983)
Fukushima-Kharzeev-Warringa, PRD 78, 074033 (2008)

$$\begin{aligned} \mathbf{j} &= -e^2 B \int \frac{d^3 p}{(2\pi)^3} \varepsilon \mathbf{b} \cdot \nabla_{\mathbf{p}} n \\ &= \kappa \frac{e^2}{4\pi^2} \mu_{R,L} \mathbf{B} \end{aligned}$$

断熱ポンピング

Thouless, PRB 27, 6083 (1983)

$$\bar{\mathbf{e}} = \int_0^T dt \int \frac{d^3 p}{(2\pi)^3} e n$$

創発的対称性 とトポロジー

トポロジーとボルツマン方程式

○ ボルツマン方程式

Sundaram- Niu, PRB 59, 14915 (1999)

Xiao-Chang-Niu, RMP 82, 1959 (2010)

$$\partial_t n + \dot{\boldsymbol{x}} \cdot \nabla_{\boldsymbol{x}} n + \dot{\boldsymbol{p}} \cdot \nabla_{\boldsymbol{p}} n = I(n)$$

- ・ 分布関数 $n(t, \boldsymbol{x}, \boldsymbol{p})$

○ 運動方程式

$$\boldsymbol{v} = \nabla_{\boldsymbol{p}} \varepsilon$$

$$\dot{\boldsymbol{x}} = \boldsymbol{v} - \dot{\boldsymbol{p}} \times \boldsymbol{b}$$

$$\dot{\boldsymbol{p}} = -e\boldsymbol{E} - \dot{\boldsymbol{x}} \times \frac{e}{c}\boldsymbol{B}$$

- ・ 運動量空間上のローレンツ力

トポロジーとボルツマン方程式

○ ボルツマン方程式

Sundaram- Niu, PRB 59, 14915 (1999)

Xiao-Chang-Niu, RMP 82, 1959 (2010)

$$\partial_t n + \dot{\boldsymbol{x}} \cdot \nabla_{\boldsymbol{x}} n + \dot{\boldsymbol{p}} \cdot \nabla_{\boldsymbol{p}} n = I(n)$$

- ・ 分布関数 $n(t, \boldsymbol{x}, \boldsymbol{p})$

○ 運動方程式

$$\boldsymbol{v} = \nabla_{\boldsymbol{p}} \varepsilon$$

$$\sqrt{\omega} \dot{\boldsymbol{x}} = \boldsymbol{v} + e \boldsymbol{E} \times \boldsymbol{b} + (\boldsymbol{v} \cdot \boldsymbol{b}) \frac{e}{c} \boldsymbol{B}$$

$$\sqrt{\omega} \dot{\boldsymbol{p}} = -e \boldsymbol{E} - \boldsymbol{v} \times \frac{e}{c} \boldsymbol{B} - \left(e \boldsymbol{E} \cdot \frac{e}{c} \boldsymbol{B} \right) \boldsymbol{b}$$

- ・ 不変測度

$$\sqrt{\omega} = 1 + \frac{e}{c} \boldsymbol{B} \cdot \boldsymbol{b}$$

位相空間上の位相的場の理論

○ 電流密度

$$j_a = \text{Pf}(\omega) \dot{\xi}_a n(t, \xi) / (2\pi)^d$$

$$= \frac{\epsilon_{aba_1 \dots a_{2d-2}}}{(2\pi)^d 2^{d-1} (d-1)!} \omega_{a_1 a_2} \dots \omega_{a_{2d-1} a_{2d-2}} \omega_{bt} n(t, \xi)$$

$$\text{Pf}(\omega) = \epsilon_{a_1 \dots a_{2d}} \omega_{a_1 a_2} \dots \omega_{a_{2d-1} a_{2d}} / 2^d d!$$

○ 生成汎関数

$$n(t, \xi) = 1$$

$$S_{\text{CS}} = \int \frac{dt d^{2d} \xi}{(2\pi)^d (d+1)!} \epsilon_{\mu_0 \dots \mu_{2d}} \mathcal{A}_{\mu_0} \partial_{\mu_1} \mathcal{A}_{\mu_2} \dots \partial_{\mu_{2d-1}} \mathcal{A}_{\mu_{2d}}$$

Bulmash-Hosur-Zhang-Qi, PRX 5, 021018 (2015)
TH-Hidaka, PRB 95 125137 (2017)